

API 579 与 B31G 剩余强度评价的保守性分析^{*}

何东升** 张 鹏

(西南石油大学建筑工程学院)

张丽萍

(新疆石油管理局井下作业公司)

何东升 张 鹏等: API 579 与 B31G 剩余强度评价的保守性分析, 油气储运, 2008, 27(1) 36~40。

摘要 腐蚀导致在役管道强度降低, 运营者必须确定当前腐蚀缺陷下管道是否可以继续服役, 目前可采用的评价方法主要有 B31G 和 API 579 系列。介绍了两种评价方法的理论基础, 根据各自的基本假设导出了相应的评价方法的评价公式, 并对此进行了深入的对比分析, 得出通常认为过于保守的 B31G 的保守性比 API 579 低的重要结论。建议在单一荷载和简单缺陷形状下, 按 B31G 进行管道的剩余强度评价。

主题词 管道 剩余强度 腐蚀 评价 标准

一、前 言

腐蚀管道的剩余强度评价的目的就是评价管道受到腐蚀、产生腐蚀缺陷时管道是否能在规定的压力下继续运行。管道公司希望在保证安全的前提下, 最大限度地降低管道评价的保守性, 提高管道运营的经济效益, 因此选择何种评价准则与管道公司的经济利益和安全运营密切相关。目前最具代表性的剩余强度评价准则是美国的 API 579^[1] 和 ASME B31G^[2], 我国也颁布了几项关于腐蚀管道的剩余强度评价标准^[3~5], 但基本是参照国外的准则制定的, 如 SY/T 6151—1995, 钢质管道管体腐蚀损伤评价方法^[3]与 ASME B31G 基本相同, SY/T 6477—2000 含缺陷油气输送管道剩余强度评价方法^[4]与 API 579 部分内容相近, SY/T 10048—2003 腐蚀管道评估的推荐做法^[5]与挪威船级社 DNV RP-F101-Recommended Practice for Corroded Pipelines^[6]相近。同时 API 579 和 ASME B31G 基本构成相对完整的美国腐蚀管道的剩余强度评价体系^[7], 分析讨论这两个准则的保守性, 提高评价的经济效益, 对指导管道的剩余强度评价具有重要的价值。

管道的运行压力、几何尺寸、材料特性和缺陷形

貌以及其它运营条件是影响管道剩余强度的主要因素, 相关准则都是根据缺陷的几何尺寸进行校核。一般只受内压的密闭容器, 其环向应力是轴向应力的两倍, 管道通常承受比密闭容器小得多的轴向力, 其轴向应力也小, 由管道的环向截面承受管道的轴向应力, 对管道的环向截面要求相对较低, 因而 B31G 主要从缺陷的纵向长度对管道缺陷进行评价, 而 API 579 不仅考虑缺陷的纵向长度, 对缺陷的周向长度和缺陷深度也进行评价。

虽然评价内容在形式上有所不同, 但实质是一样的, 即在力学上要求计算应力应小于许用应力。

二、腐蚀缺陷的应力计算方法

管道腐蚀缺陷剩余强度评价的计算公式大都是基于 1969 年由 Folias 提出的半经验公式^[8], 即管子含有缺陷时的圆周断裂应力 σ 为:

$$\sigma = \sigma_f M_s \quad (1)$$

$$M_s = \frac{1 - A/A_0}{1 - A/(A_0 M_i)} \quad (2)$$

式中 σ_f —— 材料的流动应力, MPa;

M_i —— 非穿透性缺陷的表面影响因子;

A —— 通过管壁厚度的纵向平面的缺陷的面积, mm^2 ;

* 国家自然科学基金 50674077 和 CNPC 中青年创新基金 04E7049 资助。

** 610500, 四川省成都市新都区西南石油大学建筑工程学院; 电话:(028)83033605。

A_0 ——未受损管道纵向面积, mm^2 ;

M_t ——Folias 系数。

实际上这只是个透壁裂纹表面影响因子的修正公式, 透壁裂纹的表面影响因子直接由表面影响因子 M_t 确定, M_t 又由圆柱壳体参数 λ 确定, 即:

$$\lambda = \frac{1.285L}{\sqrt{D_i t}} \quad (3)$$

式中 L ——缺陷长度;

D_i ——管道内径;

t ——管道壁厚。

1971 年 Eiber、Maxey、Duffy 给出一个计算 M_t 的表达式^[9], 即 B31G—1984 的表达式。

$$M_t = (1 + 0.4845 \lambda^2)^{1/2} \quad (4)$$

1987 年和 1989 年, Krammer、Kiefner 等修正了 M_t 的表达式^[10,11], 就是后来 B31G—1991 和 API 579 中的 M_t 的表达式:

当 $\lambda \leq 9.1$ 时:

$$M_t = (1 + 0.3797 \lambda^2 - 0.001236 \lambda^4)^{1/2} \quad (5)$$

当 $\lambda > 9.1$ 时:

$$M_t = 0.01936 \lambda^2 + 3.3 \quad (6)$$

此后断裂及固体力学学会出版的应力集中系数手册中又拟合出新的 M_t 表达式^[2]:

$$M_t = \left(\frac{1.02 + 0.4411 \lambda^2 + 0.006124 \lambda^4}{1.0 + 0.02642 \lambda^2 + 1.533 \times 10^{-6} \lambda^4} \right)^{1/2} \quad (7)$$

对非透壁缺陷, 采用 Folias 半经验公式将应力简单地表示成面积比和 M_t 关系的形式, (见式(2))。显然采用裂纹性缺陷的应力表达式难以表达体积型缺陷的应力分布; 由于缺陷形貌的复杂性, 用面积比来校正缺陷在深度方向的变化的确过于简化, 因而式(1)~式(7)都是简化公式。下面分析这两种评价准则, 确定其中的区别与联系。

三、ASME B31G 标准

为建立几何参数的评价准则, B31G 假设如下。

(1) 材料的流动应力 σ_f 是材料的最小屈服强度 σ_s 的 1.1 倍, 即 $\sigma_f = 1.1 \sigma_s$ 。

(2) Folias 系数 M_t 用式(4)表示。

(3) 缺陷形状近似为抛物线。若缺陷最大深度为 d , 则 $A = 2/3 L d$, $A_0 = L_t$, 式(2)中的面积比为 $\frac{A}{A_0} = \frac{2}{3} \frac{d}{t}$ 。

(4) 壁厚远小于管道直径, 则有 $D_i \approx D_o = D$ (管道外径)。

B31G 直接用缺陷长度对缺陷进行评价, 由式(4)可得:

$$M_t = (1 + 0.4845 \lambda^2)^{1/2} \approx \sqrt{1 + 0.8 L^2 / (D_i t)} \quad (8)$$

$$L \approx 1.12 \sqrt{M_t^2 - 1} \sqrt{D_i t} \quad (8)$$

由式(1)和式(2)可得:

$$\sigma = \sigma_f \frac{1 - A/A_0}{1 - A/(A_0 M_t)} \quad (9)$$

$$M_t = \frac{A/A_0}{1 - \sigma_f/\sigma + A/A_0 \times \sigma_f/\sigma}$$

当管道进入屈服时, 即 $\sigma = \sigma_s$, 注意到假设(1)和假设(3)。

$$M_t = \frac{d/t}{1.1 d/t - 0.15} \quad (10)$$

令 $B = \sqrt{M_t^2 - 1}$, 并将式(10)代入, 得到 B31G 的 B 值表达式:

$$B = \sqrt{\left(\frac{d/t}{1.1 d/t - 0.15} \right)^2 - 1} \quad (11)$$

注意到假设(4), 再将式(9)写成 B31G 的形式:

$$L = 1.12 B \sqrt{D_i t} \quad (12)$$

式(11)和式(12)就是 B31G 关于缺陷长度的表达式。当 $d/t \leq 0.175$ 时, $B \geq 4$, 只有内外压作用时, 通常环向应力是轴向压力的两倍, 要避免大应力下过长的缺陷长度, B31G 规定, 当 $d/t \leq 0.175$ 时, $B=4$ 。当缺陷深度小于壁厚的 10% 时, B31G 认为管道可以继续使用; 当缺陷深度大于壁厚的 80% 时, B31G 认为管道不能继续使用。系数 B 与 d/t 的关系见图 1。

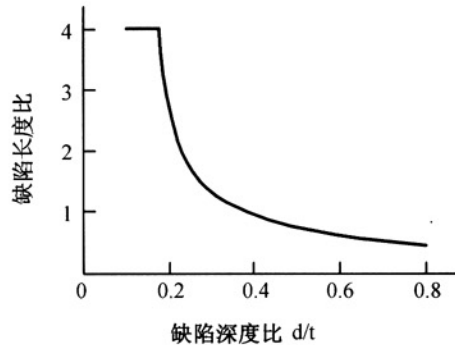


图 1 ASME B31G 确定的系数 B

从以上的推导可看出 B31G 存在着三点不足。

第一, 腐蚀长度与工作压力无关。最大允许纵向腐蚀长度的计算式(11)和式(12)中, 没有包含使

用压力和管道材料的参数,这意味着无论管道在何种压力下工作,以及管道的材质如何,只要满足最大允许纵向腐蚀长度准则,B31G 即认为管道可以继续服役,这显然不合理。

第二,对环向缺陷不进行评价。当管道只承受压力载荷时,环向应力为纵向应力的两倍,所以应主要考虑环向应力对应的纵向缺陷,但当环向缺陷较大,或管道承受其它不可忽略的纵向载荷(如弯曲、温升伸长等)时,必须考虑纵向应力以及相应的环向缺陷。

第三,单个缺陷的评价。B31G 不考虑复合缺陷的相互影响,对复杂的缺陷构成没有相关的评价方法。

四、API 579 准则

API 579 按照缺陷类型分别进行评价,它考虑了相邻缺陷的相互影响和附加载荷的影响,为腐蚀缺陷的剩余强度评价提供了更为准确的方法,它建立了含有缺陷管道的剩余承压能力、缺陷的尺寸及有关材料强度参数三者之间的关系,避免了 B31G 的上述问题。API 579 把腐蚀缺陷分为均匀腐蚀、局部腐蚀和点蚀三类,对每一类都建立了三级评级体系。一级评价提供保守的评价和审查准则;二级评价提供一个更为详细的评价,得出的评价结果比第一种评价水平更精确;三级评价提供一个最详细的评价,得出的评价结果比第二种评价水平更准确。但 API 579 只给出了一级和二级评价的评价流程和方法,建议三级评价采用有限元法或其他方法。在三类缺陷的界定上,API 579 也只给出了模糊的定义,因为 B31G 只对纵向缺陷进行评价,为便于对比,这里也只讨论纵向缺陷。

API 579 评价的思路是,首先根据设计压力确定管道所需的最小壁厚 t_{min} ,测量管道的最小壁厚 t_{mm} ,确定管道的未来腐蚀裕量 FCA、计算剩余壁厚比 R_t 和剩余强度系数 RSF,再按照前述的应力计算原则进行评价。剩余强度系数 RSF 可表示为:

$$RSF = \frac{\sigma}{\sigma_f} \frac{1 - A/A_0}{1 - A/(A_0 M_t)} \quad (13)$$

剩余壁厚比 R_t :

$$R_t = \frac{t_{mm} - FCA}{t_{min}} \quad (14)$$

式(14)上部为剩余有效壁厚,考虑在最不利的情况下,缺陷断面为矩形,则有:

$$R_t = \frac{t_{mm} - FCA}{t_{min}} = \frac{L(t_{mm} - FCA)}{Lt_{min}} \\ = \frac{A_e}{A_{min}} \approx \frac{A_o - A}{A_o} = 1 - \frac{A}{A_0}$$

式中 A_e —— 剩余有效面积;

A_0 —— 所需的最小面积。

代入式(13)可得:

$$RSF = \frac{R_t}{1 - (1 - R_t)/M_t} \quad (15)$$

$$M_t = \frac{1 - R_t}{1 - R_t/RSF} \quad (16)$$

1、均匀腐蚀

API 579 是从 Krammer 的关系式(5)和式(6)出发得出缺陷长度的关系式,重写式(5)^[7,12]:

$$0.001236 \lambda^4 - 0.3797 \lambda^2 + M_t^2 - 1 = 0$$

代入壳参数可以解得:

$$\frac{L^2}{D_t t} = 93 - \sqrt{93^2 - 296.74(M_t^2 - 1)}$$

经 Taylor 展开,取第一项:

$$\frac{L^2}{D_t t} = 1.595(M_t^2 - 1)$$

Taylor 展开与原解的差别见图 2,由此可知,只取一项时,Taylor 展开与原解的误差较大,所得的 L 值较小,偏于安全。上式开方得:

$$L = 1.263 \sqrt{M_t^2 - 1} \sqrt{D_t t}$$

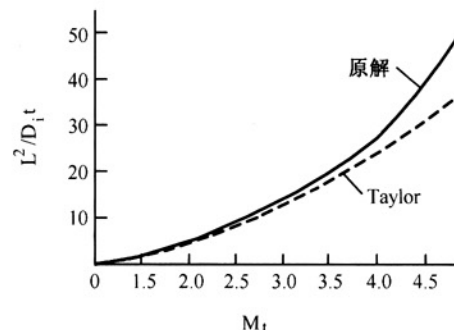


图 2 Taylor 展开与原解的差别

综合其它因素,API 579 实际按式(17)确定缺陷的允许长度:

$$L = 1.123 \sqrt{M_t^2 - 1} \sqrt{D_t t} \quad (17)$$

M_t 由式(16)确定,其中 RSF 采用允许剩余强度系数 RSF_a ,一般取 $RSF_a = 0.9$ 。当 $R_t = 0.9$ 时,取 $L/\sqrt{D_t t} = 50$ 。

$$M_t = \frac{1-R_t}{1-R_t/RSF_a} \quad (18)$$

2、局部腐蚀的一级评价

改写式(18)为剩余壁厚比的表达式, 取 $RSF_a = 0.9$, M_t 按 Eiber 的关系式取值, 即:

$$R_t \geq RSF_a \frac{1-M_t^{-1}}{1-RSF_a/M_t} \quad (19)$$

$$M_t = (1 + 0.4845 \lambda^2)^{1/2} \quad (20)$$

3、局部腐蚀的二级评价

当一级评价不满足时, API 579 对缺陷纵向划分从短到长的子域, 再确定每一子域的 RSF^i , 取最小的 RSF^i 作为管道的 RSF , 当 $RSF \geq RSF_a$ 时, 评价通过。

其中 RSF 按式(13)计算, M_t 按式(7)计算, 上标 i 表示第 i 个子域, 即:

$$RSF^i = \frac{1-A^i/A_0^i}{1-A^i/(A_0^i M_t^i)} \quad (21)$$

$$M_t^i = \left(\frac{1.02 + 0.4411(\lambda^i)^2 + 0.006124(\lambda^i)^4}{1.0 + 0.02642(\lambda^i)^2 + 1.533 \times 10^{-6}(\lambda^i)^4} \right)^{1/2} \quad (22)$$

虽然 API 579 考虑了缺陷的三个方向尺寸以及管道的受力情况, 基本避免了 B31G 的上述问题, 但仍存在以下问题。

(1) 在局部腐蚀的二级评价中, 式(21)确定的 RSF 只与结构参数有关, 与管道受力无关。

(2) 缺陷 3 个方向的尺寸分别考虑, 将缺陷从一个整体割裂开来。

(3) 均匀腐蚀、局部腐蚀与点蚀之间界定模糊。

五、对比分析

为便于对比分析, 撇开复合缺陷的形式, 仅

$$\frac{L^2}{D_{it}} \approx \frac{3.64 \times 10^{14} - 2.18 \times 10^{14} M_t^2 - 2.5 \times 10^5 \sqrt{1.85 \times 10^{18} + 1.3 \times 10^{16} M_t^2 + 7.55 \times 10^{15} M_t^4}}{2 \times (-8.35 \times 10^{12} + 2.09 \times 10^9 M_t^2)} \quad (28)$$

将式(25)代入式(28)后, 开方得局部腐蚀二级评价的长度表达式。

3、数值对比

由式(23)~式(28)确定的腐蚀长度与缺陷深度之间的无量纲关系见表 1。

与之相对应的缺陷长度比与缺陷深度比的无量纲曲线见图 3。图中曲线 API G1& L1 为 API 579 均匀腐蚀一级评价和局部腐蚀一级评价的曲线, 因为两者相差在 5/1 000 以内, 曲线几乎重叠; 曲线

以简单的单一缺陷进行对比。由于 API 579 采用了均匀腐蚀和局部腐蚀两种缺陷描述方式, 其间的界定较模糊, 这两种腐蚀缺陷中除考虑纵向载荷关系外, 均匀腐蚀的一二级评价过程和公式相同。对单一缺陷和单一荷载, 均匀腐蚀的一二级评价结果相同, 因此只列出均匀腐蚀的一级评价。这里先将应力或缺陷长度表达式写成统一的缺陷长度形式。

1、B31G

由式(12)和式(13)可得 B31G 的缺陷长度:

$$\frac{L}{\sqrt{D_{it}}} = 1.12 \sqrt{\left(\frac{d/t}{1.1 d/t - 0.15} \right)^2 - 1} \quad (23)$$

2、API 579

不计未来腐蚀裕量 FCA , 式(14)中的 R_t 可写为:

$$R_t \approx 1 - d/t \quad (24)$$

已知剩余强度系数 RSF_a 为 0.9, 将式(24)代入式(18)得到:

$$M_t = \frac{d/t}{1.111 d/t - 0.111} \quad (25)$$

由式(17)、式(18)和 API 579 确定均匀腐蚀长度为:

$$\frac{L}{\sqrt{D_{it}}} = 1.123 \sqrt{\left(\frac{d/t}{1.111 d/t - 0.111} \right)^2 - 1} \quad (26)$$

API 579 局部腐蚀的一级评价本身是按式(19)和式(20)进行的, 即对缺陷的剩余壁厚比 R_t 进行评价, 其中式(18)和式(19)是等价的, 为便于对比, 将式(18)和式(20)表示成缺陷长度的形式:

$$\frac{L}{\sqrt{D_{it}}} = 1.118 \sqrt{\left(\frac{d/t}{1.111 d/t - 0.111} \right)^2 - 1} \quad (27)$$

由式(22)和式(3)可解得局部腐蚀二级评价的长度关系式:

API L2 为 API 579 局部腐蚀二级评价的曲线。

由表 1 和图 3 可以看出, B31G 具有较大的保守性, 但与 API 579 相比, B31G 的允许缺陷长度比通常大于 API 579 均匀腐蚀和局部腐蚀的允许缺陷长度比, 因此, B31G 比 API 579 的保守性更低。

对照式(23)和式(26)可以得出, 式(26)中系数项为 1.123, 与式(23)中 B31G 的系数项 1.12 相差不到 3/1000, 而式(26)中根号内分母项却比式(23)中 B31G 中对应项大, 超过 1%, 导致式(26)的数值

最终小于式(23)的数值,即 API 579 均匀腐蚀允许的长度比小于 B31G 的长度比。同样可得 API 579

局部腐蚀一级评价的允许长度比也小于 B31G 的长度比。

表 1 最大允许缺陷长度与缺陷深度的关系

| L/\sqrt{Dt} | d/t | | | | | | |
|---------------|-------|-------|-------|-------|-------|-------|-------|
| | 0.2 | 0.3 | 0.4 | 0.5 | 0.6 | 0.7 | 0.8 |
| ASME B31G | 2.997 | 1.493 | 1.064 | 0.840 | 0.694 | 0.587 | 0.502 |
| API 579-G1 | 1.681 | 1.019 | 0.745 | 0.579 | 0.459 | 0.360 | 0.270 |
| API 579-L1 | 1.674 | 1.014 | 0.742 | 0.574 | 0.457 | 0.359 | 0.269 |
| API 579-L2 | 1.857 | 1.097 | 0.789 | 0.595 | 0.451 | 0.355 | 0.232 |

造成 API 579 在一定情况下比 B31G 更保守的原因是,在均匀腐蚀中为了得出简单的缺陷允许长度关系式,使用了一阶 Taylor 展开,只有当 M_i 和 λ 很小时,误差才会更小(见图 2)。其次,尽管采用了不同的 Folias 系数,但图 3 涉及的长度比较小,对应的壳参数也很小,这时 3 种 Folias 系数的数值较为接近。

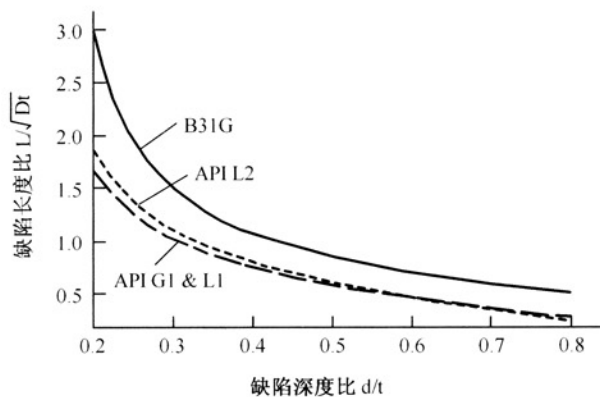


图 3 最大允许缺陷长度

六、结论及建议

(1) 传统认为过于保守的 B31G 评价方法,在单一载荷下所得的允许缺陷长度大于 API 579 的允许缺陷长度,这时 API 579 比 B31G 更保守。

(2) B31G 评价方法简单,在单一内压载荷和简单缺陷时,其保守性较 API 579 更低,建议在简单载荷、简单缺陷形貌及环向缺陷较小的情况下采用 B31G 进行评价,既简单又具有较低的保守性,因而经济性更好;由于 API 579 对复杂复合缺陷、环向缺陷都有详尽的评价方法,建议其他场合使用 API 579 进行评价。

参 考 文 献

1. API 579(2000), Recommended Practice For Fitness-For-Service, ISSUE6, 2000.
2. ANSI/ASME B31G—1991, Manual for Determining the Remaining Strength of Corroded Pipeline.
3. SY/T6151—1995, 钢质管道管体腐蚀损伤评价方法。
4. SY/T 6477—2000, 含缺陷油气输送管道剩余强度评价方法。
5. SY/T10048—2003, 腐蚀管道评估的推荐做法, 2003。
6. DNV, RP-F101-Recommended Practice for Corroded Pipelines, Det Norske Veritas, 1999.
7. A. Keith Escoe, Piping and Pipelines Assessment Guide, New York, Elsevier, 2006.
8. Folias E S; On the Effect of Initial Curvature on Cracked Sheets, International Journal of Fracture Mechanics, 1969, 5(4).
9. Eiber R J, Maxey W A, Duffy A R and Atterbury T J; Investigation of the Initiation and Extent of Ductile Pipe Rupture, Battelle Report Task 17, June, 1971.
10. Kramer G S, Wilkowski G M and Maxey W A; Flaw Tolerance of Spiral Welded Pipe, Battelle NG-18 Report No. 154, Jan., 1987.
11. Kiefner J F and Vieth P H; Project PR 3-805, A Modified Criterion for Evaluating the Remaining Strength of Corroded Pipe, Battelle Report to the Pipeline Committee of the American Gas Association, 1989.
12. 方华灿: 油气长输管道的安全可靠性分析, 石油工业出版社(北京), 2003。

(收稿日期: 2006-12-14)

编辑: 吕 彦

祝新老读者新年快乐!